

半导体热敏电阻 譯文集



國防工業出版社

73.
132

半 导 体 热 敏 电 阻

譯 文 集

无 线 电 元 件 及 材 料 编 著 部 编 著

三六三八五六九



1965年7月
中国科学院编著

1965.

內容簡介

本譯文集共收集文章12篇，主要內容有半導體熱敏電阻的基本理論、性能、製造工藝、測量和應用等。前4篇是綜述性的報導，後8篇具體介紹了各種熱敏電阻。

本書可供有關專業的研究單位和工廠的技術人員，以及高等院校半導體器件專業的師生參考。

半導體熱敏電阻譯文集

無線電元件及材料編輯部編譯

國防工業出版社出版

北京市書刊出版業營業許可證出字第074號

新华书店北京发行所发行 各地新华书店經售

國防工业出版社印刷厂印裝

787×1092 1/32 印張 7 1/8 152千字

1965年8月第一版 1965年8月第一次印刷 印数：0,001—3,200册

统一书号：15034·940 定价：(科七) 0.90元

前　　言

半导体热敏电阻是一种新型的非线性电路元件，自第二次世界大战以来，发展极为迅速。目前，在无线电技术测量和控制系统中，已获得日益显著的地位。

国外研制的热敏电阻品种繁多，不少产品已经定型并逐步完整和系列化；通用热敏电阻的稳定性及参数控制问题也基本解决，质量有很大提高。近年来，随着无线电技术日益发展的需要，各国都很重视热敏电阻材料和新品种的研究。例如，苏联对铜、锰、钴和钴、钛、钒等材料进行了长期的研究，用它们制成各种测温、控温、微波功率和热辐射测量及旁热式和稳压用的热敏电阻。在新品种方面，近年来美国研制用钛酸钡材料制成正温度系数热敏电阻，日本利用玻璃半导体制成玻璃热敏电阻。此外，各国还在研制高温和低温的热敏电阻。

本译文集共收集文章 12 篇，第 1~4 篇均系综述性的报导，以下各篇基本上是每篇介绍一种热敏电阻。

由于编者的水平所限，在选题和编译方面，一定有不少的缺点和错误，敬请读者指正。

编　者

目 录

前言	3
热敏电阻的性能和应用	5
热敏电阻的理論、制造和应用	50
热敏电阻及其应用範圍	82
热敏电阻及其在線路中的应用	114
旁热式半导体热敏电阻	141
特高頻半导体热敏电阻	160
热敏电阻在甚低頻时之电抗效应	169
耐高温半导体热敏电阻的研究	174
超低温热敏电阻的設計数据	185
正温度系数热敏电阻的特性与应用	193
半导体玻璃和玻璃热敏电阻	204
铁氧体热敏电阻的动态特性	214

38060

73.
132

半 导 体 热 敏 电 阻

譯 文 集

无 线 电 元 件 及 材 料 编 著 部 编 著

三六三八五六九



1965年2月
中国科学院

1965

內容簡介

本譯文集共收集文章12篇，主要內容有半導體熱敏電阻的基本理論、性能、製造工藝、測量和應用等。前4篇是綜述性的報導，後8篇具體介紹了各種熱敏電阻。

本書可供有關專業的研究單位和工廠的技術人員，以及高等院校半導體器件專業的師生參考。

半導體熱敏電阻譯文集

無線電元件及材料編輯部編譯

國防工業出版社出版

北京市書刊出版業營業許可證出字第074號

新华书店北京发行所发行 各地新华书店經售

國防工业出版社印刷厂印裝

787×1092 1/32 印張 7 1/8 152千字

1965年8月第一版 1965年8月第一次印刷 印数：0,001—3,200册

统一书号：15034·940 定价：(科七) 0.90元

前　　言

半导体热敏电阻是一种新型的非线性电路元件，自第二次世界大战以来，发展极为迅速。目前，在无线电技术测量和控制系统中，已获得日益显著的地位。

国外研制的热敏电阻品种繁多，不少产品已经定型并逐步完整和系列化；通用热敏电阻的稳定性及参数控制问题也基本解决，质量有很大提高。近年来，随着无线电技术日益发展的需要，各国都很重视热敏电阻材料和新品种的研究。例如，苏联对铜、锰、钴和钴、钛、钒等材料进行了长期的研究，用它们制成各种测温、控温、微波功率和热辐射测量及旁热式和稳压用的热敏电阻。在新品种方面，近年来美国研制用钛酸钡材料制成正温度系数热敏电阻，日本利用玻璃半导体制成玻璃热敏电阻。此外，各国还在研制高温和低温的热敏电阻。

本译文集共收集文章 12 篇，第 1~4 篇均系综述性的报导，以下各篇基本上是每篇介绍一种热敏电阻。

由于编者的水平所限，在选题和编译方面，一定有不少的缺点和错误，敬请读者指正。

编　　者

目 录

前言	3
热敏电阻的性能和应用	5
热敏电阻的理論、制造和应用	50
热敏电阻及其应用範圍	82
热敏电阻及其在線路中的应用	114
旁热式半导体热敏电阻	141
特高頻半导体热敏电阻	160
热敏电阻在甚低頻时之电抗效应	169
耐高温半导体热敏电阻的研究	174
超低温热敏电阻的設計数据	185
正温度系数热敏电阻的特性与应用	193
半导体玻璃和玻璃热敏电阻	204
铁氧体热敏电阻的动态特性	214

38060

热敏电阻的性能和应用●

热敏电阻是一种新的电路元件和控制器件，是用具有电阻 $-4\% / 1^{\circ}\text{C}$ 的固体半导体材料作成的。它给许多专业设计师和工程师提供了有利的条件，使他们能够更简便、更经济地完成任务，而效果比用现有器件更好。本文第一部分讨论了半导体的导电机理和用它们制成有用的电路元件的范例。对热敏电阻的基本物理性能、结构、静态和动态特性，以及一般工作原理也都有所论述。本文第二部分叙述热敏电阻的应用，包括：灵敏温度计和温度控制元件，简单的温度补偿元件，超高频功率计，传输系统用的自动增益控制器，电压调节器，音量限制器，压缩器和扩张器，气压计和流量计，液体导热计和无接点时间延迟设备。时间常数小的热敏电阻曾用作灵敏的测辐射热计，作为简单、结实的音频振荡器、调制器和放大器也颇有发展前途。

一、热敏电阻的性能

引言

热敏电阻是用电阻随温度迅速变化的固体材料制成的器件。虽然它的出现才不过15年，但由于它简单、体积小、结实、寿命长、不难维护以及其他优良性能，而作为新的电路元件广泛应用于通讯、无线电、电工和热工仪器、物理、化

● J. A. Becker, C. B. Green and G. L. Pearson, Properties and Uses of Thermistors-Thermally Sensitive Resistors, Electrical Engineering, Nov. 1946, pp. 711~725.

学和生物学研究，以及军事技术等方面，例如用作时间延迟器、保护装置、电压调节器、载波系统调制器、音量限制器、超高频测试设备、非常小的辐射功率的探测元件等。本文在第二部分讨论热敏电阻的特殊用途，其中包括：

1. 简单、灵敏和反应快的温度计、温度补偿器以及温度控制设备。
2. 无动接点的特殊开关。
3. 音量限制器或调节器。
4. 压力计、流量计以及简单的气体和液体导热计。
5. 时间延迟和浪涌抑制器。
6. 用于较低频率的特种振荡器、调制器和放大器。

在详细讨论这些用途以前，有必要先谈谈决定热敏电阻性能的物理原理。热敏电阻之所以到近几年才得到应用，是因为它是用半导体做成的，它的电阻值因微量杂质添加量、热处理、接触方法以及使用期间处理的方法不同，而发生成千倍或成百万倍的变化。从外观看，用完全相同的工艺过程作出的两个或两个以上的元件，性能差别很大，甚至同一元件暴露在适度的温度下或通过电流，其阻值变化也达2倍到10倍。因此，在认真考虑半导体的工业应用之前，必须进行大量的工作，研究半导体中导电率的性质、杂质、热处理对导电率的影响，以及在半导体上做成永久可靠的接触的方法。虽然法拉第早已发现硫化银的电阻随温度迅速变化，而且在成千种其它半导体中也已发现电阻有大的负温度系数，但工程界在得到这个新元件前仍然在物理和化学方面用了约一个世纪的时间进行研究，这种新元件的影响可能和真空管的影响相似，并可在许多场合下代替真空管。

要使热敏电阻普遍应用于工业方面，則必須滿足下列条件：

1. 能制作重复性好的元件。
2. 使用时性能稳定，接触牢靠，有化学惰性。
3. 机械性能結实耐用。
4. 在工艺上材料应能作成不同的形状和大小。
5. 必須有寬广的阻值、溫度系数和功率消散範圍。

热敏电阻可用任何一种方法作成，只要能将半导体按一定尺寸成形并加上接触就行，这些方法包括：

1. 熔化半导体、冷却、凝固、切成一定尺寸和形状。
2. 蒸发。
3. 将压缩半导体粉末加热到一定溫度，使之燒結成坚固密致的整块，然后燒上金屬粉末作接触。

虽然三种方法都曾用过，但第三种方法最宜于大量生产。这种方法与陶瓷工艺和粉末冶金工艺相似。在燒結溫度下，粉末进行重結晶，而体积按控制量收縮。这种磨粉工艺可使两种或两种以上的半导体氧化物按不同比例混合，以得到均匀的固体。于是就可能在同一氧化物系列中取得較大的比电阻和电阻溫度系数範圍。磨粉工艺还可使热敏电阻作成多种不同的形状和尺寸并具有較大的电阻範圍和功率範圍。

图 1 所示为作成珠式、杆式、圓片式、垫圈式和薄片式的热敏电阻。珠式热敏电阻的制法是用珠将两个平行的鉑合金絲串在一起，两絲間距約为絲徑的 5 到 10 倍，在絲上塗上一点混合氧化物，表面張力使它拉成珠状。沿平行綫可以平均地排列 10 到 20 个这样的小珠。待小珠干燥后加热处理，使它们具有足够的强度，就可处理珠串。使它们再通过燒結炉，

氧化物收缩在铂丝上，形成可靠耐久的电接触。然后切断铂丝将小珠分开。所用丝径为0.0025到0.015厘米，小珠直径为0.015到0.15厘米。

杆式热敏电阻是这样做成的：加入有机粘合剂和溶剂混合氧化物，模压成型，阴干，切成一定长度，加热去掉粘合剂，在高温下烧结；在杆之末端塗上陶瓷工艺所用的银、金、铂浆，在适当温度下加热或熔烧。杆径通常为0.08到0.64厘米，长度为0.15到5厘米。

圆片式和垫圈式都是用粘结的粉末模压成型的。可能作成的圆片直径为0.15到3或5厘米，厚度为0.08到0.64厘米。

薄片式热敏电阻是这样作成的：加入适当的粘合剂和溶剂混合氧化物，使之成为均匀的乳状物，然后，在光滑的玻璃面敷上一层薄膜，待膜干后，剥下并切成所需尺寸和形状，再在烧结温度下，在光滑的瓷体表面上把薄片烧结。加

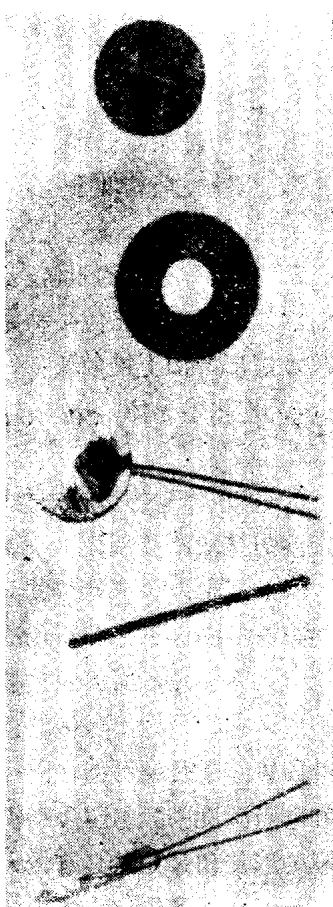


图1 从下至上为珠式、杆式、圆片式、垫圈式和薄片式的热敏电阻器。

接触的方法亦如上述。其尺寸是：厚 0.001 到 0.004 厘米，长 0.1 到 1.0 厘米，宽 0.02 到 0.1 厘米。

上述所有形式中的任一种，其引线都是焊接上或将稠金属浆烧渗上去的。所谈极限尺寸是易于达到的。

在设计特种应用的热敏电阻时，必须考虑下列性能：

1. 包括基体在内的几何尺寸。
2. 制备材料和性能，这是指比电阻及其随温度变化的情况、比热、密度和膨胀系数。
3. 散热常数和功率灵敏度。散热常数是热敏电阻所消耗的瓦数除以高于环境温度的温升 (°C)。功率灵敏度是阻值降低 1% 所需的瓦数。这些常数决定于表面积和表面性质，周围的媒质，基体的热导率等。
4. 由密度、面积和比热决定的热容量。
5. 时间常数，它决定热敏电阻加热或冷却的速度。当热敏电阻加热至高于其周围温度，随即冷却时，开始时温度下降较快，以后变慢，直至最后达到环境温度。时间常数就是环境温度下降 63% 所需的时间。时间常数以秒为单位，它等于热容量 (焦耳/°C) 除以散热常数 (瓦/·°C)。
6. 最大允许耗散功率，在连续使用和耐受浪涌时，与良好的稳定性和长的寿命相一致。这可由散热常数和最大允许温升中计算出来。最大允许耗散功率和电阻与温度的关系决定了阻值的最大下降值。

半导体的性能

由于大多数热敏电阻都是用半导体制成的，因而讨论半导体的性能便很重要。所谓半导体，就是在室温或接近于室温时其电导率比典型金属低很多，而比绝缘体又大很多的物

质。半导体与导体之间并无明显的界限，但可以说，它在室温时具有0.1到 10^9 欧姆·厘米的比电阻。半导体通常都有大的负电阻温度系数。若温度由 0°C 增加至 300°C ，则阻值减少到千分之一。上述同一温度范围内，典型金属（如铂）之阻值则增加1倍。图2表示三种典型的半导体和铂的比电阻 ρ 的对数和温度 T ($^\circ\text{C}$) 的关系。

系。曲线1和2代表“材料1”和“材料2”。这些材料近来得到广泛应用。“材料1”是锰镍氧化物配成的；“材料2”是锰镍钴氧化物配成的。曲线2的虚线部分表明，在该区域内的电阻温度关系不像在较低温度时了解得那样清楚。曲线3是由铁锌氧化物以一定比例混合成锌铁氧体的实验曲线。从图2可以明显看出，阻值 R 和 $\lg R$ 与温度 T 都不是直线关系。

图3表示“材料1”和“材料2”的 $\lg \rho$ 与 $\frac{1}{T}$ 的关系曲线。它们近似为直线。因此

$$\rho = \rho_\infty e^{B/T} \quad \text{或者} \quad \rho = \rho_0 e^{(B/T - B/T_0)}, \quad (1)$$

式中 T —— 温度 ($^\circ\text{K}$)；

ρ_∞ —— $T = \infty$ (或 $\frac{1}{T} = 0$ 时) 的 ρ 值；

ρ_0 —— $T = T_0$ 时的 ρ 值。

e 为内氏基数 = 2.718； B 是常数，为图3中直线斜率

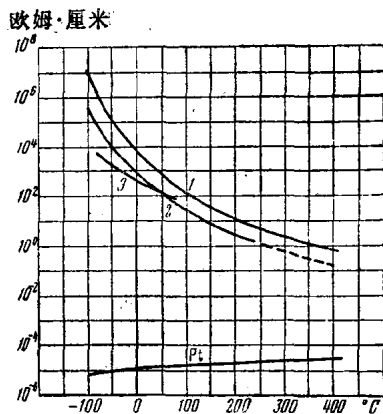


图2 三种热敏电阻材料和铂的比电阻对数同温度的关系。

的 2.303 倍。B (°K 或 °C) 在方程(1) 中的作用和功函数在热发射的李查生方程中的作用相同。“材料 1” 的 $B = 3920^{\circ}\text{C}$, 这相当于 $3920/11600$ (或 0.34) 伏的电子能量。

图 3 中曲线虽近似直线，但仔细研究后可以看出，温度上升时，斜率线性增大。因而 ρ 的更为严格的公式为：

$$\rho = AT^{-c} e^{D/T}$$

或 $\lg \rho = \lg A - c \lg T + \frac{D}{2.303T}$, (2)

c 是常数，可为小的正值或负值，或为零。对“材料 1”而言， $\lg A = 5.563$, $c = 2.73$, 而 $D = 3100$ 。“材料 2”的一种特殊形式的 $\lg A = 11.514$, $c = 4.83$, 而 $D = 2064$ 。

如果我们用下式说明电阻温度系数：

$$\alpha = \left(\frac{1}{R} \right) \left(\frac{dR}{dT} \right), \quad (3)$$

从(1) 式则可得出

$$\alpha = -\frac{B}{T^2}. \quad (4)$$

对“材料 1”而言， $T = 300^{\circ}\text{K}$ 时， $\alpha = -\frac{3920}{90000} =$

-0.044 ; 对铂而言， $\alpha = +0.0037$ ，或者为半导体的 $\frac{1}{10}$ ，而符号相反。从(2) 式则可得出

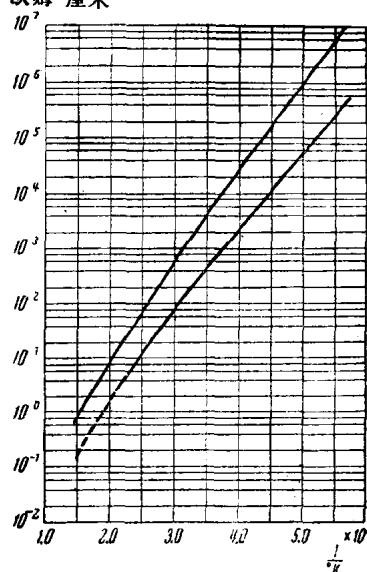


图 3 两种热敏电阻材料的比热对数和绝对温度倒数的函数关系 (见式 1)。

$$\alpha = -\left(\frac{D}{T^2}\right) - \left(\frac{C}{T}\right) \quad (5)$$

从(3)式可得出

$$\alpha = \left(-\frac{1}{2.303}\right) \left(-\frac{d \lg R}{dT}\right) \quad (6)$$

討論半导体的导电性质时，考虑电导率 σ 比考虑电阻率 ρ 来得简便。

$$\sigma = 1/\rho \quad \text{和} \quad \lg \sigma = -\lg \rho \quad (7)$$

若在相当寬的溫度範圍內給出半导体电导率或电导率的对数与 $\frac{1}{T}$ 的函数关系，则其性能就会更清楚地反映出来。图

4 就是杂质含量漸增的几种硅样品的曲綫。在高溫时，所有样品的电导率几乎相同。这就是所謂本征电导率，因为它似乎是硅的固有特性。在低温下，各个样品的电导率有很大差別。在此範圍中，硅可以說是一种含杂质的半导体。高純度硅的电导率只是本征电导率，其电阻率服从式(1)。当某种杂质的濃度增加时，电导率增大，而杂质电导率在較高溫时仍占优势。某些杂质比其他杂质对电导率增大

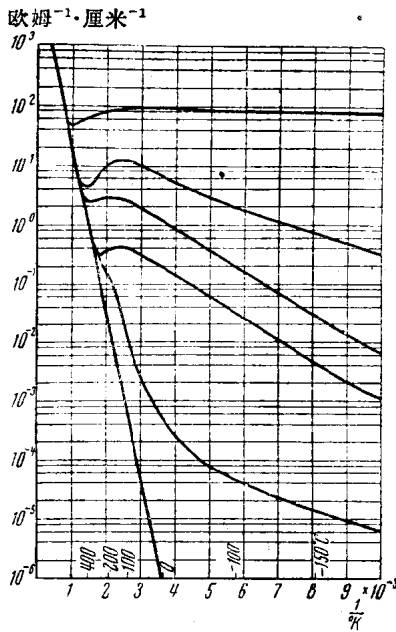


图 4 不同硅样品电导率的对数与絕對溫度倒数的函数关系（电导率随杂质浓度而增加）。